

# 第一章 地震作用

地震按其产生的原因，可分为

- 火山地震：火山活动（爆发或爆发前夕）引起
- 陷落地震：地下空洞（岩洞、矿井等）突然塌陷而引起
- 构造地震：地质运动引起（占世界地总数90%以上,也是破坏力最大的）

地幔热对流是引起地质运动的最主要原因，其他原因包括地球的自转与公转、月球和太阳的引力影响等。地质运动使地壳岩层变形而产生应力，岩层变形不断累积会使应力增大，当岩层应力大于岩石强度时，岩层会突然破裂，岩层破裂后将以震动的方式释放能量并产生地震波，地震波到达观测点地面引起地面运动，形成“地震”。

**地震术语：**

1. 震源：即发震点，是指岩层断裂处
2. 震中：指震源正上方的地面地点
3. 震源深度：指震中至震源的距离
4. 震中距：指地面某处到震中的距离

**Remark.** 震源深度：

浅源地震（ $h \leq 60\text{km}$ ）

中源地震（ $60\text{km} \leq h \leq 300\text{km}$ ）

深源地震（ $h \geq 300\text{km}$ ）

板块构造学说：

板块与板块间可认为是大陆的断层，而断层处抵抗应力的能力通常较低，因此地震多发生于板块边缘(其中环太平洋地震带和欧亚地震带)。

**Theorem 1.0.1.** 震级：衡量地震规模大小的数量等级。一次地震只有一个震级。

里氏震级：  $M = \lg A$  （其中  $A$  是距离震中 100km 地面最大位移）

**Remark.** 这里  $A$  的单位是  $\mu m$  显然只能用来定义比较小震级的地震(具体指 6 级以下)  
6 级以上需要通过其他方法定义

**Definition 1.0.1.** 地震能  $E$  与震级  $M$  之间的关系：

$$\lg E = 11.8 + 1.5M$$

$E$  的单位是尔格（1尔格= $10^{-7}$ J）

震级增加 1 级，地震能增大 31.6 倍。

$$\frac{E_2}{E_1} = \left[ 10^{11.8+1.5(M+1)} \right] / \left( 10^{11.8+1.5M} \right) = 10^{1.5} = 31.6$$

**Definition 1.0.2.** 烈度

某一特定地区遭受一次地震影响的强弱程度。同一场地震会有不同的烈度。

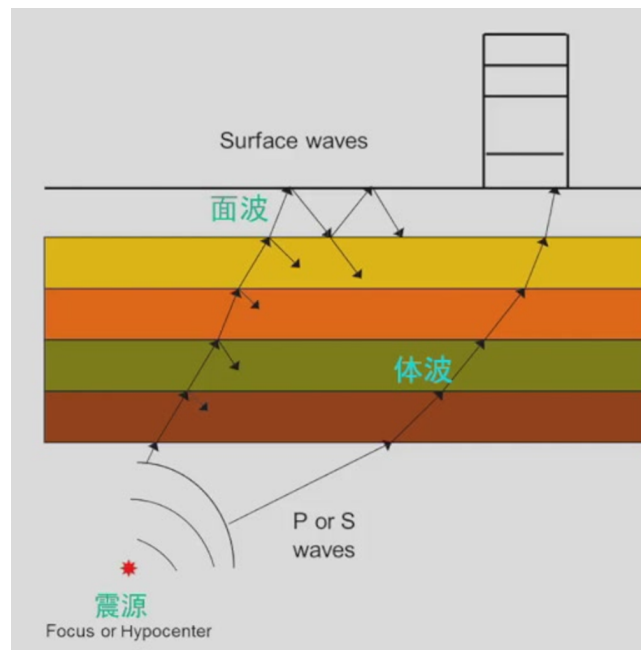


图 1.1: 面波和体波

**Remark.** 一般认为，面波是体波经地层界面多次反射、折射所形成的次生波。

如果把地球看作匀质球体，先到的波通常为纵波或P波；后到的波通常为横波或S波。

纵波（P波）：使建筑物产生上下颠簸

横波（S波）：使建筑物产生水平摇晃

面波也有两种，一种为瑞雷波（R波），一种为洛夫波（L波）。

- 1. 瑞雷波传播时，质点在与地面成垂直的平面内沿波的前进方向作椭圆运动。
- 2. 洛夫波传播时，质点在地平面内作与波行进方向相垂直的振动。

**Remark.** 地震地面运动的竖向运动由P波和R波引起(随堂小测)。

各种波特点	体波		面波
	P波	S波	R波和L波
波速	快	较快	慢
周期	短	较短	长
振幅	小	较小	大
运动方向	上下运动	前后、左右运动	R波：上下、前后运动；L波：左右运动

表 1.1: 各种波的特性比较

影响地面运动频谱的两个因素: 场地条件:(1)土层软硬程度(2)土层覆盖层厚度

震中距:周期短的波在有阻尼介质中传播较易衰减，随着震中距的增加，短周期成分占比减小，长周期成分占比增加特定周期的波可能引发共振

1.1 单质点体系运动方程

**Definition 1.1.1.** 反应谱理论:

$$F = k\beta G$$

$G$  — 重力荷载代表值；

$k$  — 地震系数（反映震级等的影响）；

$\beta$  — 动力系数（反映结构的特性，如周期、阻尼等的影响）。

反应谱理论的成功之处在于，不仅考虑了地震的强度影响，还考虑了结构的抗震影响，但是没有考虑地震时间长度的影响。

为分别考虑地面运动幅值和频谱对地震反应谱影响，将  $F = m \cdot S_a$  表达式改写为：

$$F = mS_a = mg \left( \frac{|\ddot{x}_g|_{\max}}{g} \right) \left( \frac{S_a}{|\ddot{x}_g|_{\max}} \right) = Gk\beta$$

$$S_a = |\ddot{x}_g + \ddot{x}|_{\max}$$

式中：  $k$  为地震系数

$\beta$  为动力系数

$G = mg$  为结构重量

$|\ddot{x}_g|_{\max}$  为地面运动最大加速度

**Remark.** 地震影响系数:  $\alpha = k\beta$

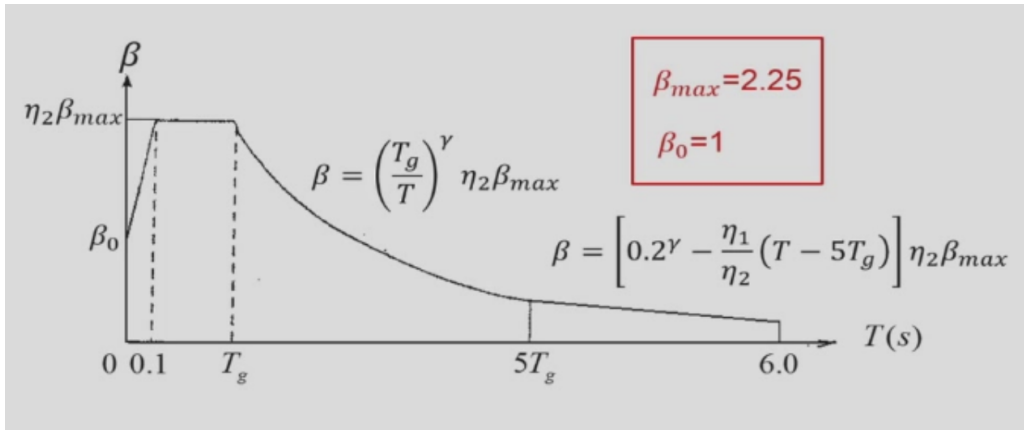


图 1.2: 地震系数

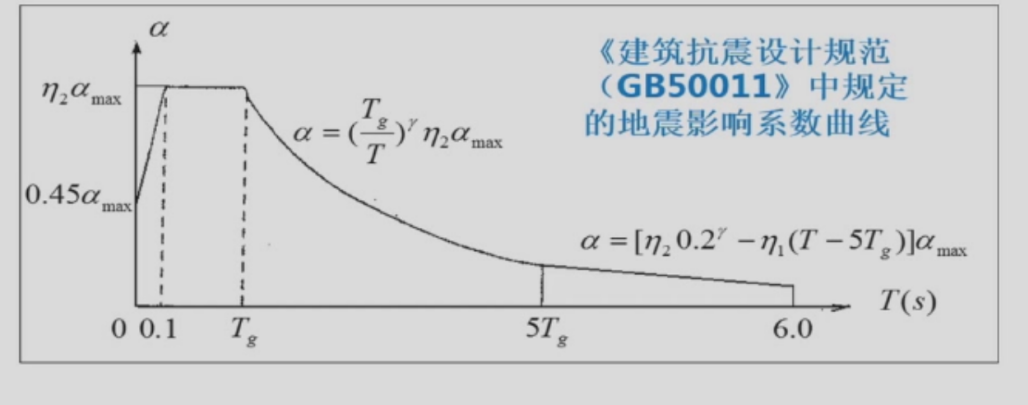


图 1.3: 地震影响系数

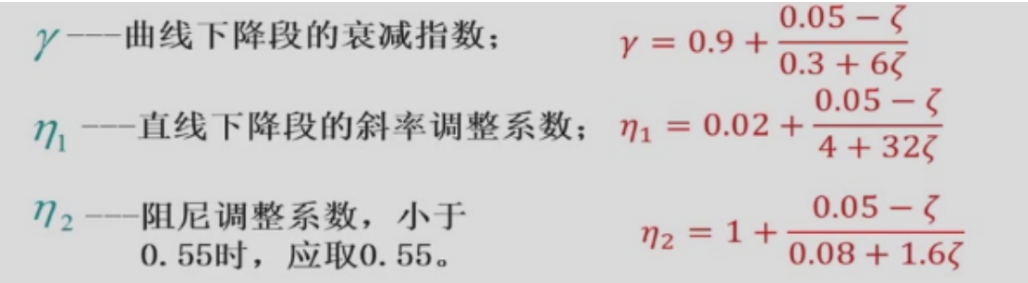


图 1.4: 相关参数

**Remark.** 知道了地震影响系数, 根据两个图, 可以分别计算出地震系数和动力系数, 比如说曲线下降段的 $k=1$ 。

**Remark.** 地震作用是一种间接作用&偶然作用&动态作用

## 1.2 多质点体系运动方程

当结构的质量不集中于一个确定位置时, 如多高层房屋、烟囱等, 应将结构处理成多质点体系进行地震反应分析, 才能得到切合实际的解答。

以下关于振型分解反应谱法的内容不是那么重要, 沈老师强调了重点考虑底部剪力法通俗的理解下, 振型分解反应谱法 (因为我也看的不是很懂):

对于一个多质点体系, 每个节点, 都可以列一个和单质点体系类似的方程, 简写为矩阵的形式:

$$[M]\{\ddot{x}\} + [C]\{\dot{x}\} + [K]\{x\} = -\ddot{x}_g[M]\{1\}$$

类似的写出特征方程:

$$([K] - \omega^2[M])\{\phi\} = 0$$

从线性代数角度来说, 这个方程的特征向量线性无关, 所以通解可以表示为特征向量的线性组合形式。

$$\mathbf{x}(t) = \sum_{r=1}^n \phi_r q_r(t)$$

这里的 $q_r(t)$ 就是以振型为基底的新坐标(相当于线性变换了) 同时这里刚度矩阵 $K$ 和 $M$ 为对称矩阵,  $\omega^2$ 也是对称矩阵, 因此振型是相互正交的。

**Remark.** 对称矩阵的特征向量相互正交。

同新坐标系下的 $\mathbf{x}(t)$ 带入原方程, 进行求解

$$\ddot{q}_j + 2\omega_j \zeta_j \dot{q}_j + \omega_j^2 q_j = -\gamma_j \ddot{x}_g$$

得到反应谱的定义:

$$F_{ji} = m_i \gamma_j \phi_{ji} S_a(T_j) = \gamma_j \phi_{ji} G_i \alpha(T_j)$$

考虑到各阶振型不在同一时刻发生, 各振型最大效应直接相加结果会偏大, 因此需要采取合理的振型组合, 常用方法“平方和开方”法

$$S = \sqrt{\sum S_j^2}$$

$S$ ——水平地震作用效应;

$S_j$ —— $j$ 振型水平地震作用产生的作用效应, 包括内力和变形。

一般, 各阶振型在地震总效应中的贡献随其频率的增加而迅速减少, 频率最低的几个振型控制着结构的最大地震效应。实际计算中, 一般采用前几个振型即可。

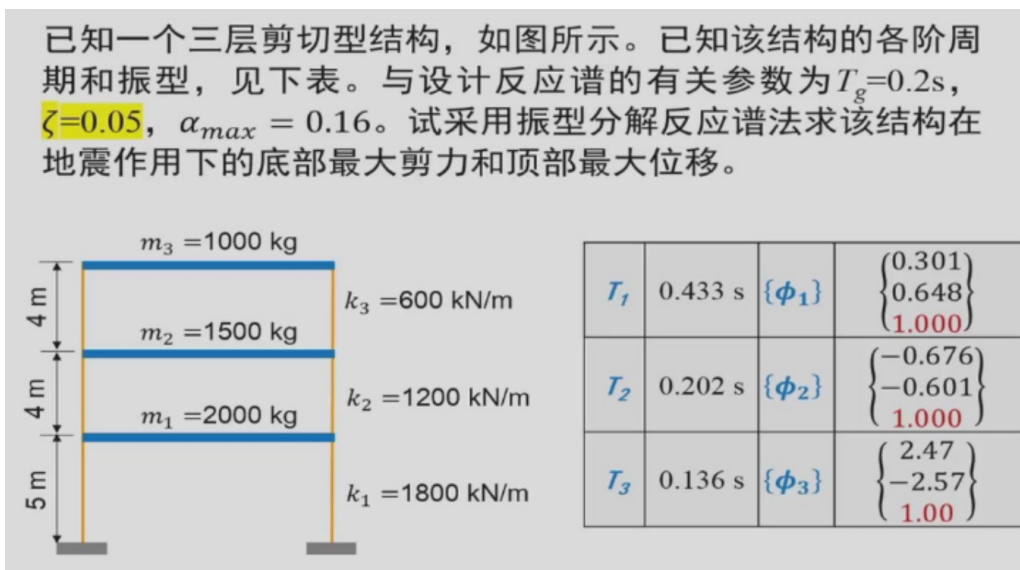


图 1.5: 振型分解计算例题

Remark.

$$\gamma_j = \frac{\{\phi_j\}^T [M] \{1\}}{\{\phi_j\}^T [M] \{\phi_j\}}$$

$$F_{ij} = G_i \gamma_i \phi_{ij} \alpha_i$$

## (2) 各阶振型地震作用

第一阶振型地震作用

$$F_{11} = G_1 \gamma_1 \phi_{11} \alpha_1 = 2 \times 9.8 \times 1.421 \times 0.301 \times 0.0798 = 0.669 \text{ kN}$$

$$F_{12} = G_1 \gamma_1 \phi_{12} \alpha_1 = 1.5 \times 9.8 \times 1.421 \times 0.648 \times 0.0798 = 1.080 \text{ kN}$$

$$F_{13} = G_1 \gamma_1 \phi_{13} \alpha_1 = 1.0 \times 9.8 \times 1.421 \times 1.000 \times 0.0798 = 1.111 \text{ kN}$$

第二阶振型地震作用

$$F_{21} = 1.074 \text{ kN}$$

$$F_{22} = 0.716 \text{ kN}$$

$$F_{23} = -0.795 \text{ kN}$$

第三阶振型地震作用

$$F_{31} = 0.697 \text{ kN}$$

$$F_{32} = -0.529 \text{ kN}$$

$$F_{33} = 0.141 \text{ kN}$$

图 1.6: 计算作用力

## (3) 求最大底部剪力

各振型地震作用产生的底部剪力为：

$$V_{11} = F_{11} + F_{12} + F_{13} = 2.860 \text{ kN}$$

$$V_{21} = F_{21} + F_{22} + F_{23} = 0.995 \text{ kN}$$

$$V_{31} = F_{31} + F_{32} + F_{33} = 0.309 \text{ kN}$$

通过振型组合求最大底部剪力：

$$V_1 = \sqrt{V_{11}^2 + V_{21}^2 + V_{31}^2} = 3.043 \text{ kN}$$

若只取前两阶振型反应组合，可得

$$V'_1 = \sqrt{V_{11}^2 + V_{21}^2} = 3.028 \text{ kN} \approx V_1$$

图 1.7: 计算剪力

## 求最大顶部位移

各振型地震作用产生的顶部位移为：

$$u_{13} = \frac{F_{11} + F_{12} + F_{13}}{k_1} + \frac{F_{12} + F_{13}}{k_2} + \frac{F_{13}}{k_3} = \frac{2.860}{1800} + \frac{1.080 + 1.111}{1200} + \frac{1.111}{600}$$

$$= 5.266 \times 10^{-3} \text{ m}$$

$$u_{23} = \frac{F_{21} + F_{22} + F_{23}}{k_1} + \frac{F_{22} + F_{23}}{k_2} + \frac{F_{23}}{k_3} = -0.838 \times 10^{-3} \text{ m}$$

$$u_{33} = \frac{F_{31} + F_{32} + F_{33}}{k_1} + \frac{F_{32} + F_{33}}{k_2} + \frac{F_{33}}{k_3} = 0.083 \times 10^{-3} \text{ m}$$

图 1.8: 计算位移

底部剪力法是把地震作用当作等效静力作用在结构上，以此计算结构的最大地震反应。因该方法首先计算地震产生的结构底部最大剪力，然后将该剪力分配到结构各质点上作为地震作用，而得此名。

**Remark.** 底部剪力法只考虑第一振型的地震作用，因此在计算时只需要计算体系的基本周期和第一振型。（×计算的时候不用第一振型只用基本周期）

同时底部剪力法和振型分解反应谱法都是静力学方法，所以只适用弹性(非塑形)计算。

计算假定：



1. 地震作用下以第一振型反应为主，忽略其他振型反应
2. 结构第一振型为线性倒三角形分布，任一质点的振型坐标与该质点离地面的分布假设高度成正比

底部剪力法适用条件：

1. 房屋结构的质量和刚度沿高度分布比较均匀
2. 房屋高度不超过40m
3. 房屋结构在地震作用下的变形以剪切变形为主
4. 房屋结构在地震作用下的扭转效应可忽略不计

**Theorem 1.2.1.** 第一振型的水平地震作用为：

$$F_i = \alpha_1 \phi_{1i} \gamma_1 G_i = \alpha_1 \phi_{1i} \frac{\sum G_j \phi_{1j}}{\sum G_j \phi_{1j}^2} G_i$$

$$\phi_{1i} = c H_i \implies$$

$$F_i = \alpha_1 \frac{\sum G_j H_j}{\sum G_j H_j^2} H_i G_i \quad \text{这条式子告诉我们 } F_i \text{ 按 } G_j H_j \text{ 分配}$$

$$F_i = \frac{G_i H_i}{\sum_{j=1}^n G_j H_j} F_{Ek}$$

$$F_{EK} = \alpha_1 \chi G_E$$

其中：

$$\chi = \frac{(\sum G_j H_j)^2}{(\sum G_j H_j^2)(\sum G_i)} = \frac{3(n+1)}{2(2n+1)}$$

$$G_E = \sum G_i$$

**Remark.**  $\gamma_j$  被称为振型参与系数，表示各个振型被激发的“强度”。

$n=1$ ，可以取  $\chi$  为 1，大于 1 时，近似取为 0.85

**Remark.** 适用于基本周期：  $T_1 \leq 1.4T_g$

当  $T_1 > 1.4T_g$  时，需考虑高振型的影响，否则计算所得的结构顶部地震作用偏小

**Remark.**

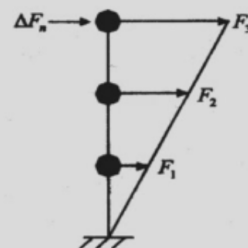
$$\phi_{1i} = c H_i$$

这条关系式的含义是由于第一振型是一个倒三角形，这在计算假定里

## ④ 高阶振型影响:

1) 将结构总地震作用中的一部分作为集中力作用于结构顶部。

$$\Delta F_n = \delta_n F_{EK}$$



底部剪力法地震作用分布

顶部附加地震作用系数 $\delta_n$ 表

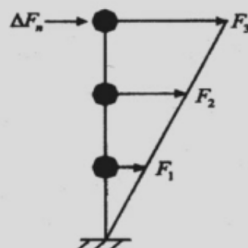
$T_g$ (S)	$T_1 > 1.4T_g$	$T_1 \leq 1.4T_g$
$\leq 0.35$	$0.08T_1 + 0.07$	0.0
$0.35 < T_g \leq 0.55$	$0.08T_1 + 0.01$	
$> 0.55$	$0.08T_1 - 0.02$	

图 1.9: 高阶振型的影响

## ④ 高阶振型影响:

2) 余下部分按下式分配给各质点, 质点 $i$ 水平地震作用:

$$F_i = \frac{G_i H_i}{\sum_{j=1}^n G_j H_j} (F_{Ek} - \Delta F_n)$$



底部剪力法地震作用分布

3) 结构顶部的水平地震作用为:

$$F_n + \Delta F_n$$

图 1.10: 高阶振型对其余节点的影响

**Example 1.2.1.** 还是刚才那道题目

求底部剪力

地震影响系数:  $\alpha_1 = \left(\frac{T_g}{T_1}\right)^{0.9}$   $\alpha_{\max} = \left(\frac{0.2}{0.433}\right)^{0.9} \times 0.16 = 0.0798$

结构总重力荷载:  $G_E = (1.0 + 1.5 + 2.0) \times 9.8 = 44.1 \text{ kN}$

因结构质点数  $n = 3 > 1$ , 近似取  $\chi = 0.85$ , 则底部剪力:

$$F_{Ek} = \chi \alpha_1 G_E = 0.85 \times 0.0798 \times 44.1 = 2.991 \text{ kN}$$

与通过振型分解反应谱法求得的结果接近（3.043 kN）。

如不考虑高阶振型影响，则：

$$F_1 = \frac{G_1 H_1}{\sum G_j H_j} F_{Ek} = \frac{2 \times 5}{2 \times 5 + 1.5 \times 9 + 1.0 \times 13} \times 2.991 = 0.819 \text{ kN}$$

$$F_2 = \frac{1.5 \times 9}{2 \times 5 + 1.5 \times 9 + 1.0 \times 13} \times 2.991 = 1.106 \text{ kN}$$

$$F_3 = \frac{1.0 \times 13}{2 \times 5 + 1.5 \times 9 + 1.0 \times 13} \times 2.991 = 1.065 \text{ kN}$$

顶部位移

$$u_3 = \frac{F_{Ek}}{k_1} + \frac{F_2 + F_3}{k_2} + \frac{F_3}{k_3} = \frac{2.991}{1800} + \frac{1.065 + 1.106}{1200} + \frac{1.065}{600} = 5.246 \times 10^{-3} \text{ m}$$

与上例通过振型分解反应谱法求得的结果也很接近（ $5.333 \times 10^{-3} \text{ m}$ ）。根据周期检查是否需要考虑高阶振型：

$$T_1 (= 0.433 \text{ s}) > 1.4T_g (= 0.28 \text{ s}), \text{ 需考虑高阶振型影响。}$$

查表：

$$\delta_n = 0.08T_1 + 0.07 = 0.08 \times 0.433 + 0.07 = 0.105$$

$$\Delta F_3 = \delta_n F_{EK} = 0.105 \times 2.991 = 0.314 \text{ kN}$$

则：

$$F_1 = \frac{G_1 H_1}{\sum G_j H_j} (F_{Ek} - \Delta F_3) = \frac{2 \times 5}{2 \times 5 + 1.5 \times 9 + 1.0 \times 13} \times (2.991 - 0.314) = 0.733 \text{ kN}$$

$$F_2 = 0.990 \text{ kN}$$

$$F_3 = 0.953 \text{ kN}$$

$$F_3 + \Delta F_3 = 1.267 \text{ kN}$$

顶部位移

$$\begin{aligned} u_3 &= \frac{F_{Ek}}{k_1} + \frac{F_2 + F_3 + \Delta F_3}{k_2} + \frac{F_3 + \Delta F_3}{k_3} = \frac{2.991}{1800} + \frac{2.257}{1200} + \frac{1.267}{600} \\ &= 5.654 \times 10^{-3} \text{ m} \end{aligned}$$

与通过振型分解反应谱法求得的结果接近（ $5.333 \times 10^{-3} \text{ m}$ ）。

**Remark.** 相比于原来反应谱方法，首先不论是剪力还是位移，都只要考虑一阶振型，简化了计算，同时精度在可控范围。

**Example 1.2.2.** 简述地震反应谱的实质。

自振圆频率为  $\omega$ ，阻尼比为  $\xi$  的单质点体系在确定的地震地面运动下最大的加速度反应。

**Example 1.2.3.** 某三层钢筋混凝土框架结构，设计地震基本烈度为8度区，场地为IV类，设计地震分组为第二组，结构所在场地特征周期值  $T_g = 0.75s$ ，结构层高和各层重力荷载代表值如图5-26所示，结构基本自振周期为0.50s。重力加速度  $g = 9.8m/s^2$ 。试采用底部剪力法，求：

- (1) 结构的底部总剪力；
- (2) 作用在各层楼板上的地震作用；
- (3) 结构顶部最大位移。

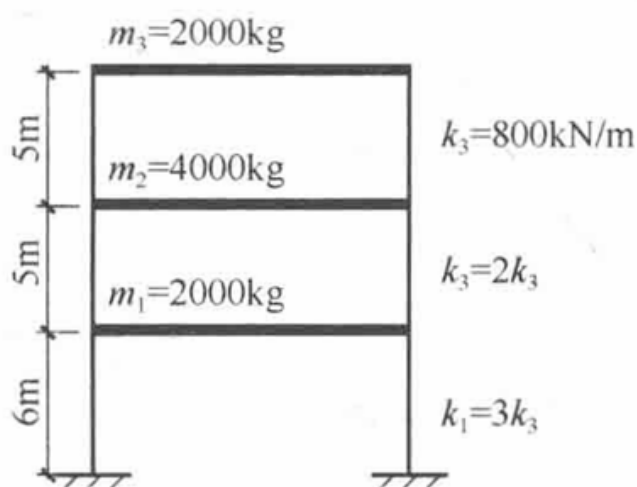


图 5-26 习题 5-6 框架立面图

$\delta_n = 0$  查表可知，可以忽略地震的顶部作用。

$$(1) F_{Ek} = a_{\max} \times \chi \times G = a_{\max} \times \chi \times \sum G_j = 0.16 \times 0.85 \times (2000 + 4000 + 2000) \times 9.8 = 10.66 \text{ kN}$$

$$(2) F_1 = \frac{6 \times 2}{6 \times 2 + 11 \times 4 + 16 \times 2} \times F_{Ek} = 1.45 \text{ kN}$$

$$F_2 = 5.33 \text{ kN}$$

$$F_3 = 3.87 \text{ kN}$$

$$(3) \quad \sum U = U_1 + U_2 + U_3 = \frac{F_1 + F_2 + F_3}{k_1} + \frac{F_2 + F_3}{k_2} + \frac{F_3}{k_3} = 1.2 \times 10^{-2} \text{ m}$$